

## مقاله پژوهشی

### الکترو ریزپوشانی لیکوپن در ساختار میکروالیاف پرتوئینی: بررسی خصوصیات فیزیکوشیمیایی و زیستدسترسی

اسماعیل چهارپاشلو<sup>۱</sup>، محبت محبی<sup>۲\*</sup>، بهروز قرآنی<sup>۳</sup>

۱. دانشجوی کارشناسی ارشد، گروه علوم و مهندسی صنایع غذایی، دانشگاه فردوسی مشهد
۲. استاد، گروه علوم و مهندسی صنایع غذایی، دانشگاه فردوسی مشهد
۳. استادیار، گروه نانوفناوری مواد غذایی، موسسه پژوهشی علوم و صنایع غذایی، مشهد

(تاریخ دریافت: ۹۶/۹/۶، تاریخ آخرین بازنگری: ۹۶/۱۰/۲۶، تاریخ پذیرش: ۹۶/۱۰/۲۷)

## چکیده

لیکوپن، رنگدانه کاروتونوئیدی چربی‌دوست دارای خواص سلامتی‌بخش ویژه‌ای است، به این دلیل بسیاری از محققین، آن را به عنوان یک ماده ارزشمند می‌شناسند. پایداری بسیاری از ترکیبات زیست‌فعال به علت فرایندهای گوناگون فیزیکو‌شیمیایی و فیزیولوژی محدود می‌شود، به همین منظور استفاده از روش‌های مختلف ریزپوشانی جهت آزاد شدن کنترل شده و افزایش میزان پایداری ترکیبات زیست‌فعال، امری ضروری می‌باشد. در این پژوهش تأثیر غلظت‌های مختلف محلول زئین به میزان ۱۵، ۲۰، ۲۵، ۳۰ و ۳۵٪ w/w بر تولید الیاف زئین با استفاده از روش الکتروریسی مورد بررسی قرار گرفت. در ادامه از غلظت بهینه جهت ریزپوشانی لیکوپن در دو سطح ۰/۰۷۵ و ۰/۰۰۵٪ استفاده و خصوصیات فیزیکی و شیمیایی الیاف زئین حاوی لیکوپن مورد بررسی قرار گرفت. همچنین پروفایل رهایش لیکوپن در سه فاز دستگاه گوارش انسان؛ دهان، معده و روده کوچک، بررسی شد. تصاویر حاصل از میکروسکوپ الکترونی روبشی نشان داد الیاف یکنواخت، همگن و بدون مهره برای زئین حاصل گردیده است. راندمان ریزپوشانی لیکوپن در دو نمونه بین ۰/۰۷ و ۰/۰۸۸٪ متغیر بوده است. نتایج حاصل آزمون FTIR حاکی از آن است که ریزپوشانی به صورت موققیت‌آمیز صورت گرفته و از نوع فیزیکی می‌باشد. علاوه بر این رهایش کنترل شده و پایدار از لیکوپن در دستگاه گوارش مشاهده شده که این سبب افزایش در زیست‌دسترسی آن شده است. ریزپوشانی با استفاده از الیاف الکتروریسی شده زئین، پتانسیل بالایی به عنوان یک سیستم رسانش هدفمند مناسب برای لیکوپن دارد. از این‌رو استفاده از این روش برای ریزپوشانی لیکوپن در صنعت غذا توصیه می‌شود.

واژه‌های کلیدی: الکتروریزپوشانی، الکتروریسی، زیست‌دسترسی، زئین، لیکوپن.



## ۱. مقدمه

فرایند الکترورسی فرایندی ساده و یک مرحله‌ای برای تولید الیاف است که در آن از حرارت استفاده نمی‌شود. مبنای الکترورسی، استفاده از نیروی کششی میدان الکتریکی بین قطره معلق محلول یا مذاب در نوک سوزن و صفحه جمع کننده است. زمانی که شدت میدان الکتریکی بر کشش سطحی محلول پلیمری غلبه کند، جریان جت گونه‌ای از سطح قطره خارج شده و به سمت صفحه هدف حرکت می‌کند و الیاف به صورت لایه‌ای بی‌بافت شکل می‌گیرند [۲]. الکترورسی از طیف گسترده‌ای از مواد پلیمری زیست سازگار و زیست‌تخریب‌پذیر نظری پروتئین‌ها و کربوهیدرات‌ها، به عنوان مواد دیواره برای ریزپوشانی ترکیبات زیست‌فعال استفاده می‌کنند. ترکیبات پروتئینی متداول که به عنوان دیواره جهت ریزپوشانی به روش الکترورسی به کارمی‌رونده شامل ایزوله پروتئین آب‌پنیر [۵]، کنسانتره پروتئین آب‌پنیر [۶]، ایزوله پروتئین سویا [۷]، آلبومین تخم مرغ [۸]، کلاژن [۹]، ژلاتین [۱۰]، زئین [۱۱] و کازئین [۱۲] هستند. مزایای استفاده از تکنیک‌های الکترورسی، ریزپوشانی با کارایی بالا، رهایش ثابت و پایدار موادر ریزپوشانی شده، پایداری مناسب در برابر حرارت، نور و درنتیجه افزایش زمان نگهداری و همچنین حفاظت مواد فعال زیستی از تخریب شیمیایی می‌باشد [۲]. اما همانند هر تکنیک تازه ظهور در یک حوزه علمی، استفاده صنعتی از این روش نیازمند اصلاح فرایند و تطبیق آن با نیازهای تولید است. همچنین محدودیت در انتخاب نوع حلال از جمله چالش‌های مرتبط با استفاده از این تکنیک می‌باشد.

لیکوپن رنگ‌دانه کاروتونوئیدی چربی‌دوستی است که تنها در گیاهان یافت می‌شود. این رنگ‌دانه دارای خواص سلامتی بخش ویژه‌ای از جمله خواص آنتی اکسیدانی است، به همین دلیل بسیاری از محققین، آن را به عنوان یک ماده ارزشمند می‌شناسند. لیکوپن از لحاظ ساختاری، یک هیدروکربن چربی دوست غیراشباع است، به همین دلیل در سامانه‌های آبدار به شکل کریستال رسوب می‌کند. شواهد بدست‌آمده نشان می‌دهد که لیکوپن ممکن است باعث تحریک سیستم ایمنی گردد [۱۳].

یکی از نکات مهمی که در ریزپوشانی باید مدنظر قرار گیرد، زیست‌دسترسی مواد و ترکیبات فعال زیستی می‌باشد. در اوایل سال ۲۰۰۰ این واژه توسط دانشمندان مواد غذایی مورد استفاده قرار گرفت و برای هر مولکول زیست‌فعالی که در شکل قابل جذب خود در شرایط معده، از غذا آزاد می‌شود به کاربرده شد [۱۴].

ریزپوشانی تکنیکی جهت حفاظت از اجزا و ترکیبات حساس در برابر عوامل فیزیکو‌شیمیایی سخت محیطی می‌باشد. با استفاده از این روش، ضمن جلوگیری از هدر رفتن ترکیبات فرار و حساس، رهایش کنترل شده‌ای برای آن‌ها می‌توان ایجاد نمود. بنابراین ترکیبات زیست‌فعالی مانند آنتی اکسیدان‌ها، ویتامین‌ها و همچنین ترکیبات مولد طعم و بو می‌توانند با استفاده از این روش به شکل پایدارتری تبدیل شوند [۱].

تکنیک‌های مختلفی اعم از میکرو و نانو کیپسولاسیون، به عنوان مثال خشک کردن پاششی، خشک کردن انجمادی، روش‌های اکستروژن، پوشش‌دهی بسترسیال، امولسیون‌سازی، کواسرواسیون (روش توده‌ای) و نانو ترسیب، برای حفاظت ترکیبات زیست‌فعال وجود دارند که هریک از آن‌ها دارای محسن و معایبی هستند. با این حال، برخی از این روش‌ها نیاز به حرارت داشته و یا مواد آلی حداقل در یکی از مراحل تولید آن‌ها وجود دارند که این امر منجر به تخریب مواد مغذی حساس ریزپوشانی شده می‌گردد. این در حالی است که همچنان مشکلات مرتبط با سمیت ناشی از عوامل باقی‌مانده مواد آلی وجود دارد. خشک کردن پاششی یکی از معمول‌ترین روش‌ها برای ریزپوشانی می‌باشد. هزینه پایین و سادگی نسبی این روش، مهم‌ترین دلیل برای کاربرد گسترده این روش در صنعت است. با این حال، استفاده از خشک کردن پاششی برای ترکیبات زیست‌فعال، به دلیل اعمال دمای بالا طی خشک کردن و ثبات پایداری پایین‌حین انبارمانی محصول نهایی از نظر تجاری هنوز توسعه نیافته است. اصلی‌ترین عامل محدود‌کننده این روش شمار محدود مواد دیواره است که الزاماً باید در آب حلایت خوبی داشته باشند. عیب دیگر این روش این است که پودر میکرو‌کیپسول‌های حاصل بسیار ریز بوده و نیازمند فرایند بعدی همچون اکلومریزاسیون می‌باشد [۲]. خشک کردن انجمادی نیز یکی از کم ضرر‌ترین و معمول‌ترین روش‌ها برای خشک کردن ترکیبات زیست‌فعال و پروبیوتیک‌ها است. با این حال این روش نیز فرایندی بسیار گران است [۳]. نیاز به انرژی بالا و زمان طولانی فرایند از معایب اصلی خشک کردن انجمادی می‌باشد. علاوه بر این، در طول فرایند، مانعی با ساختار مخلخل بین عامل فعال و محیط احاطه کننده آن شکل می‌گیرد که تخلخل بالای این محیط، حفاظت ضعیفی را بر روی ترکیب ریزپوشانی شده اعمال می‌کند [۴].

شد. نتایج این پژوهش نشان داد اسید گالیک پس از ریزپوشانی توسط نانوالیاف، فعالیت آنتیاکسیدانی خود را حفظ کرده است [۲۱]. در رابطه با اطلاعات پیشین در مورد الکترو ریزپوشانی ترکیبات فعال زیستی مقالاتی در منابع وجود دارند که نتایج ارایه شده توسط آنها نشان می‌دهد این پروتئین می‌تواند با استفاده از محلول اسید استیک الکترو ریوسی شده و الیاف یکنواخت، همگن و عاری از مهره<sup>۱</sup> ایجاد نماید [۱۸، ۱۹]. اما در رابطه با الکترو ریزپوشانی ترکیبات فعال زیستی و بررسی خصوصیات زیست دستری آنها گزارشی در منابع وجود ندارد و به همین دلیل انجام تحقیقات بیشتر در این زمینه ضروری به نظر می‌رسد.

هدف از این تحقیق، الکترو ریزپوشانی لیکوپن در الیاف پروتئینی زئین به عنوان حامل می‌باشد. خصوصیات فیزیکی و شیمیایی الیاف زئین حاوی لیکوپن بررسی شده و برای نخستین بار، زیست دستری لیکوپن الکترو ریزپوشانی شده مورد مطالعه قرار گرفته است.

## ۲. مواد و روش‌ها

### ۱.۲. تهیه مواد اولیه

پودر زئین با شماره کاتالوگ Z3625 از شرکت سیگما آلدريچ اسپانیا ، اسید استیک گلاسیال با خلوص ۹۹/۹۵٪ از شرکت سام چون کره جنوبی، لیکوپن با درصد خلوص ۹۰٪ از شرکت پاپ چم ایالات متحده امریکا، پیپسین، شیره پانکراس و لیپاز از شرکت سولاربیو چین خریداری شد. نمک‌های صفراء از شرکت سیگما آلدريچ اسپانیا با خلوص آزمایشگاهی تهیه شد. سایر مواد شیمیایی مورد استفاده در این پژوهش نظیر سدیم کلراید، پتاسیم کلراید، دی پتاسیم هیدروژن فسفات، اوره، بی‌کربنات سدیم، هگزان و اسید کلریدریک نیز از شرکت مرک آلمان با خلوص آزمایشگاهی خریداری گردیدند.

### ۲.۰. تهیه محلول پلیمری

غلظت‌های مختلف w/v٪ ۳۵٪، ۳۰٪، ۲۵٪، ۲۰٪، ۱۵٪، از طریق حل کردن پودر زئین در اسید استیک گلاسیال در دمای اتاق ۲۵ °C توسط همزن مغناطیسی با سرعت ۴۰۰ rpm به مدت ۲۰ min تهیه گردید. هدف از تهیه چند غلظت، به دست آوردن

به طور کلی زیست دستری به عنوان قسمتی از یک ترکیب که از ساختار غذایی در شرایط گوارشی آزاد شده و درنهایت برای جذب در روده قابل دستری است، تعریف می‌شود [۱۵]. زیست دستری بسیاری از ترکیبات زیست فعال چربی دوست به علت فرایندهای گوناگون فیزیکو شیمیایی و فیزیولوژیکی از جمله آزاد شدن محدود از ساختار غذا یا دارو، حلایت کم در شیره معده و روده و نفوذ پذیری پایین در سلول‌های بافت پوششی محدود می‌شود [۱۴]. به همین دلیل استفاده از بیوپلیمرها و روش‌های مختلف ریزپوشانی برای آزاد شدن کنترل شده و همچنین افزایش سطح زیست دستری ترکیبات زیست فعال امری ضروری می‌باشد.

زئین از جمله پرولامین‌ها با وزن مولکولی حدود ۴۰ KDa می‌باشد. زئین به چهار گروه،  $\alpha$ -زئین،  $\beta$ -زئین،  $\gamma$ -زئین و  $\delta$ -زئین تقسیم می‌شود. زئین دارای خصوصیات آمفی فیلیک می‌باشد. اما بیشتر رفتار پروتئین آب گریز از خود نشان می‌دهد. بنابراین در اسید استیک گلاسیال، اتانول، استون و استیل استون محلول است، اما در آب حل نمی‌شود. از لحاظ ساختاری در زئین نسبت اسیدهای آمینه آب گریز غیر قطبی به اسیدهای آمینه آب دوست قطبی بیشتر است. متوسط آب گریزی زئین حدود ۵۰ بار بیشتر از آلبومین، فیبرینوژن و غیره می‌باشد [۱۶]. زئین دارای پایداری حرارتی بالا و ممانعت کنندگی نسبت به اکسیژن و مواد فرار (عطر و طعم) می‌باشد [۱۷]. همچنین به دلیل داشتن اسیدهای آمینه غیر قطبی مثل لوسین، آلانین و پرولین در آب نامحلول است [۱۶]. زئین قابلیت رسیده شدن توسط فرایید الکترو ریوسی را دارا بوده و الیاف حاصل از آن دارای پایداری حرارتی بالاتر نسبت به فیلم‌های زئینی می‌باشد [۱۷].

یائو و همکاران تولید نانوالیاف زئین توسط فرایید الکترو ریوسی و ایجاد اتصالات عرضی جهت بهبود خصوصیات فیزیکی آن را مورد بررسی قرار دادند. نتایج نشان داد مورفولوژی نانوالیاف وابسته به غلظت زئین می‌باشد. شرایط بهینه محلول برای تولید نانوالیاف زئین، نسبت ۷٪ زئین بود که منجر به تولید نانوالیاف دارای قطر  $500\text{ nm}$  و عاری از مهره شد. همچنین این محققین نشان دادند که استفاده از هگزامتیلن دیاپریوسیانات موجب افزایش چشم گیر استحکام نانوالیاف زئین می‌گردد [۲۰]. همچنین نتو و همکاران اسید گالیک را در غلظت‌های مختلف w/v٪ ۲۰٪، ۱۰٪، ۵٪ درون نانوالیاف زئین بارگذاری نمودند. قطر نانوالیاف تولید شده بین ۳۲۷-۳۸۷ nm اندازه گیری

پلاتین با محلول بسیار رقیق شده از مخلوط اسید کرومیک تمیز شد و کاملاً با آب مقطر شسته شد و سپس با استفاده از قسمت اکسیژن شعله سوزانده شد. غلظت‌های مختلف از محلول‌های زئین و اسید استیک گلاسیال به مقدار ۲۵ ml نمونه تهیه شد. حلقه از لودر آویزان و حدود ۵ mm از سطح مایع پایین آمد. حلقه از سطح کشیده و کشش سطحی در دمای  $25^{\circ}\text{C}$  ثبت شد [۲۳].

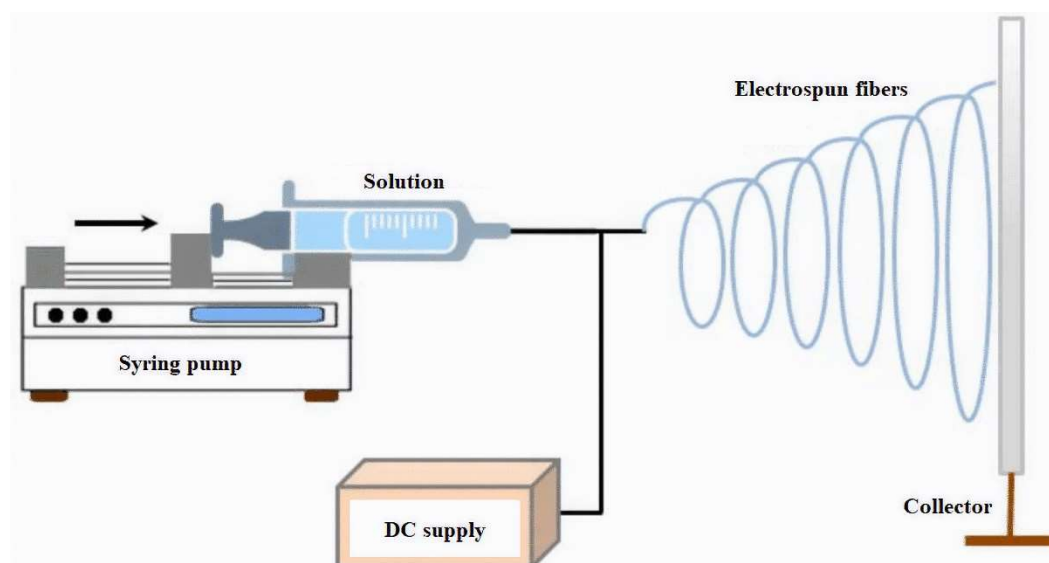
#### ۴.۲ فرایند الکتروریسی

در این پژوهش از دستگاه الکتروریسی دو محوره مجهز به یک منبع تغذیه با ولتاژ بالا در دامنه  $35\text{ kV}-0$ - $35\text{ kV}$  ساخت شرکت نانو ساختار آسیا، ایران استفاده شد. قطب مثبت منبع تغذیه دستگاه به یک سوزن فولادی ضدزنگ با شماره ۱۸G و قطب منفی به صفحه جمع‌کننده متصل بود. محلول پلیمری درون یک سرنگ با حجم ۱۰ ml وارد و از طریق یک لوله باریک توسط یک پمپ دارای کنترل دیجیتالی به سوزن منتقل شد. الکتروریسی محلول زئین حاوی لیکوپن با نرخ تغذیه  $0.5 \text{ ml/h}$ ، فاصله نوک سوزن تا صفحه جمع‌کننده ۱۵۰ mm و اعمال ولتاژ  $25\text{ kV}$  انجام شد. الیاف بر روی صفحه جمع‌کننده به ابعاد  $5 \times 5 \text{ cm}^2$  تشکیل شدند [۱۹].

دامنه غلظتی مناسب برای تولید نانو الیاف زئین در مراحل بعدی الکتروریسی بود. محلول حاصل به مدت ۲۴ h در دمای اتاق به منظور خروج حباب‌های هوا و ایجاد پیوندهای بین مولکولی نگهداری شد [۲۲]. برای تهیه مخلوط زئین و لیکوپن جهت انجام فرایند الکتروریزپوشانی، مقدار مشخصی از پودر لیکوپن در دو سطح  $0.05\text{ w/w}$  و  $0.75\text{ w/w}$  به محلول پلیمری زئین با غلظت  $0.30\text{ w/v}$  اضافه شد. این غلظت از زئین به این دلیل انتخاب گردید که نتایج حاصل از پیش تیمارها نشان داد نمونه مطلوب الیاف با مورفولوژی یکنواخت، همگن و عاری از مهره و دارای کمترین میزان قطر می‌باشد.

#### ۴.۳ بررسی خصوصیات محلول

جهت اندازه‌گیری ویسکوزیته محلول‌های پلیمری در غلظت‌های متفاوت از ویسکومتر چرخشی بروکفیلد مدل DVIII Ultra ساخت کشور انگلستان استفاده شد. اندازه‌گیری در دمای  $25^{\circ}\text{C}$  و با اسپیندل مدل SC4-31 در محدوده برشی  $1-80 \text{ s}^{-1}$  انجام گرفت [۱۷]. همچنین جهت اندازه‌گیری کشش سطحی محلول‌های پلیمری طبق روش حلقه با استفاده از دستگاه کشش‌سنجد Kruss K20 ساخت کشور آلمان صورت گرفت. دقتناندازه‌گیری در  $1 \text{ mNm}^{-1} \pm 0.1$  بود. قبل از اندازه‌گیری، حلقه



شکل (۱) تصویری شماتیک از فرایند الکتروریسی

Fig. 1.Schematic diagram of electrospinning process

$$\frac{\text{میزان لیکوپن اندازه گیری شده}}{\text{میزان کل لیکوپن}} \times 100 = \text{راندمان ریزپوشانی \%} \quad (1)$$

### ۸.۲. بررسی رهایش و زیستدسترسی لیکوپن در شرایط شبیهسازی شده دستگاه گوارش

#### ۸.۲.۱. تهیه محلول‌های موردنیاز

جهت تهیه محلول شبیهسازی شده بزاق (SSF)، از  $0.512 \text{ g/L}$  سدیم کلرید،  $0.856 \text{ g/L}$  پتاسیم کلرید،  $0.608 \text{ g/L}$  دی‌پتاسیم هیدروژن فسفات،  $0.8 \text{ g/L}$  اوره،  $0.512 \text{ g/L}$  بی‌کربنات سدیم و  $0.6 \text{ g/L}$  آنزیم آلفا آمیلاز طبق روش ون‌روث و روزن استفاده شد. ترکیبات فوق با استفاده از آب دیونیزه به حجم رسانیده و pH محلول حاصله بر روی  $6/8$  تنظیم گردید [۲۹].

برای تهیه محلول شبیهسازی شده معده (SGF)،  $2 \text{ g}$  کلوروسدیم و  $7 \text{ ml}$  اسید کلریدریک  $0.37\%$  با استفاده از آب دیونیزه به حجم  $1 \text{ L}$  رسانده شد، سپس به میزان  $3/2 \text{ mg/ml}$  پپسین به محلول اضافه و pH محلول در  $2/5$  تنظیم شد [۳۰].

محلول شبیهسازی شده روده (SIF) با استفاده از مخلوط کردن محلول‌های  $0.25 \text{ M}$  کلور کلسیم ( $\text{CaCl}_2$ ) و  $0.75 \text{ M}$  سدیم کلرید ( $\text{NaCl}$ ) تهیه و pH بر روی  $7$  تنظیم گردید [۳۰]. نمک-های صفرایی با غلاظت  $0.46/0.87 \text{ mg/ml}$  و محلول لیپاز با غلاظت  $0.24 \text{ mg/ml}$  و محلول پانکراس با غلاظت  $0.16/0.25 \text{ mg/ml}$  تهیه و آنها بر روی  $7$  تنظیم شد [۳۱، ۳۲].

#### ۸.۲.۲. نحوه اعمال شرایط شبیهسازی شده هضم دستگاه گوارش

شبیهسازی شرایط گوارش در سه فاز دهانی، معده‌ای و روده‌ای برای هضم نمونه‌های الیاف زئین حاوی لیکوپن مورد استفاده قرار گرفت. قبل از انجام آزمایش تمام محلول‌های تهیه شده به دمای  $37^\circ\text{C}$  رسانده شدند.

فاز دهان:  $0.25 \text{ g}$  از الیاف حاوی لیکوپن با  $20 \text{ ml}$  از محلول شبیهسازی شده بزاق (SSF) ترکیب شده، pH  $6/8$  رسانده شد و درنهایت برای شبیهسازی شرایط دهان به مدت  $10 \text{ min}$  در Memmert Waterbath WNB 14 ساخت کشور آلمان تحت شرایط دمایی  $37^\circ\text{C}$  و سرعت برشی  $100 \text{ rpm}$  قرار داده شد [۳۰]. جهت اندازه‌گیری میزان رهایش در فاصله زمانی  $2 \text{ min}$  نمونه‌برداری به میزان  $1 \text{ ml}$  صورت گرفت.

فاز معده:  $20 \text{ ml}$  از مخلوط حاصل از فاز دهانی به همراه الیاف

### ۵.۲. میکروسکوپ الکترونی روبشی (SEM)

مورفولوژی الیاف الکترونی شده پس از پوشش دهی با طلا در خلا، با استفاده از میکروسکوپ الکترونی روبشی Hitachi S-4100 ساخت کشور ژاپن در بزرگنمایی  $1,000\times$  و  $25,000\times$  مورد بررسی قرار گرفت. تمام بررسی‌ها در ولتاژ  $20 \text{ kV}$  انجام گرفت. میانگین قطر الیاف، با استفاده از نرمافزار Image J. V1.48 از روی تصاویر به دست آمده با اندازه‌گیری  $100$  عدد لیف به صورت تصادفی از هر تصویر، تعیین شد [۲۴-۲۶].

### ۶. طیف‌سنجی تبدیل فوریه مادون‌قرمز (FT-IR)

به منظور بررسی تغییرات شیمیایی و برهم‌کنش‌های احتمالی بین الیاف زئین و لیکوپن طی تولید، از طیف‌سنجی انتقال فوریه مادون‌قرمز Avatar 370 FT-IR، Thermo Nicolet آغاز شد. آمریکا استفاده شد. این آزمون به روش قرص بروماید پتاسیم در دمای  $25^\circ\text{C}$  و در دامنه فرکانسی  $4000-4000 \text{ cm}^{-1}$  انجام شد. علت استفاده از بروماید پتاسیم نیز به عدم جذب آن در ناحیه مادون‌قرمز مربوط می‌شود [۲۷].

### ۷. تعیین راندمان ریزپوشانی لیکوپن (EE%)

راندمان بارگذاری از طریق اندازه‌گیری میزان لیکوپن آزاد میکرو الیاف تعیین شد. اندازه‌گیری میزان لیکوپن، به روش لیو و وُ با کمی اصلاحات صورت گرفت [۲۸]. بدین منظور  $0.25 \text{ g}$  از الیاف زئین حاوی لیکوپن با  $10 \text{ ml}$  هگزان، حاوی  $0.05\% \text{ BHT}$  به عنوان حلal لیکوپن به مدت  $2 \text{ min}$  مخلوط شد. پس از آن، مخلوط حاصل با استفاده از سانتریفیوژ ERMLE, Z36H ساخت کشور آلمان با سرعت  $1690 \text{ rpm}$  به مدت  $5 \text{ min}$  دو فاز گردید. فاز رویی (حاوی لیکوپن در هگزان) جداسازی و میزان لیکوپن موجود در آن به روش اسپکتروسکوپی توسط دستگاه اسپکتروفوتومتر WPA, S2000 UV/Vis ساخت کشور انگلستان اندازه‌گیری شد. طول موج انتخابی برای قرائت جذب لیکوپن در هگزان  $472 \text{ nm}$  بود، به این دلیل که بزرگ‌ترین پیک جذب لیکوپن در هگزان در این طول موج می‌باشد. از هگزان به عنوان جذب شاهد استفاده شد. مقدار لیکوپن با استفاده از منحنی کالیبراسیون لیکوپن محاسبه گردید. سپس راندمان ریزپوشانی طبق رابطه (۱) به دست آمد.

1. Butylated hydroxy toluene

(1cm) و  $g_{sample}$  وزن نمونه (g) می‌باشد [۳۱]. در این آزمون، از یک نمونه تولیدی (به صورت پیوسته) به ترتیب برای آزمون رهایش در فازهای سه‌گانه دستگاه گوارش استفاده گردید تا شبیه‌سازی دقیقاً مطابق دستگاه گوارش صورت گیرد. لازم به ذکر است که کلیه آزمون‌ها در دو تکرار صورت پذیرفت.

**۴.۸.۲ اندازه‌گیری میزان زیست‌دسترسی لیکوپن**  
برای اندازه‌گیری میزان زیست‌دسترسی طبق روش ژانگ و همکاران، مخلوط حاصل از اتمام فاز روده سانتریفوژ (۴۸۱۸ rpm) به مدت ۴۰ min و لایه بالایی (میسل) که لیکوپن در آن حل شده بود، جمع آوری گردید. غلظت لیکوپن موجود در الیاف زئین و میسل حاصل از فاز روده با استفاده از روش استخراج سانتریفوژی تعیین گردید [۳۰]. به این صورت که  $g / ۰.۲۵ \times ۰.۰۵ / ۱۰ = ۰.۰۱$  میسل و الیاف زئین حاوی لیکوپن به ۱۰ ml هگزان حاوی ۰.۰۵% BHT در لوله آزمایش ۱۵ ml اضافه شد. لوله آزمایش دو بار به مدت ۱۰ S ورتسک و بعد از آن سانتریفوژ (۱۶۹۰ rpm) به مدت ۱۵ min گردید. آب دیونیزه اضافه و ۵ min در دمای ۲۵ °C نگهداری شد تا جدا شدن فاز رخ دهد. سپس لایه بالایی جمع آوری و میزان جذب با دستگاه اسپکتروفوتومتر در طول موج ۴۷۲ nm قرائت گردید. از هگزان به عنوان جذب شاهد استفاده شد. غلظت لیکوپن در هر نمونه با استفاده از رابطه (۲) محاسبه گردید [۳۱]. زیست‌دسترسی لیکوپن با استفاده از رابطه زیر محاسبه شد:

$$\frac{\text{غلظت لیکوپن در میسل}}{\text{غلظت لیکوپن در الیاف زئین}} \times 100 = \text{زیست‌دسترسی} \quad (3)$$

### ۴.۸.۳ طرح آماری

برای انجام آنالیز داده‌ها و بررسی اطلاعات به دست آمده از آزمون‌های مختلف از طرح کاملاً تصادفی استفاده شد. به منظور تعیین اختلاف بین میانگین اعداد (حداقل سه تکرار برای هر آزمایش)، پس از آنالیز واریانس از آزمون چند دامنه‌ای دانکن در سطح ( $P < 0.05$ ) استفاده گردید. در تمام مراحل، تجزیه و تحلیل آماری داده‌ها با استفاده از نرم افزار SPSS. V22 صورت گرفت.

با ۲۰ ml محلول شبیه‌سازی شده معده (SGF) ترکیب و pH به ۲/۵ رسانده شد. مخلوط به مدت ۲ h در حمام آب مجهر به سیستم تکان‌دهنده تحت شرایط دمایی ۳۷ °C و سرعت برشی ۱۰۰ rpm قرار گرفت [۳۰]. هم‌چنین جهت تعیین میزان رهایش در معده در فواصل زمانی گوناگون ۱۲۰ min، ۸۰، ۴۰، ۲۰، ۱۰، ۵، ۲ نمونه‌گیری به مقدار ۱ ml انجام پذیرفت.

**فاز روده:** ۳۰ ml از مخلوط فاز معده به همراه الیاف به شرایط ۱۰۰ ml انتقال و در حمام آب با دمای ۳۷ °C مجهر به سیستم تکان‌دهنده قرار داده شد. pH مخلوط به ۷ رسانده و ۱/۵ ml از محلول شبیه‌سازی شده روده (SIF) به آن اضافه گردید. در ادامه، ۳/۵ ml محلول نمک‌های صفرایی اضافه شد. pH مخلوط به ۷ برگردانده، ۲/۵ ml محلول لیپاز و ۳ ml محلول پانکراس اضافه گردید و به مدت ۳ h در حمام آب مجهر به سیستم تکان‌دهنده تحت شرایط دمایی ۳۷ °C و سرعت برشی ۱۰۰ rpm نگهداری شد [۳۰، ۳۲]. هم‌چنین جهت تعیین میزان رهایش در روده همانند معده نمونه‌گیری انجام پذیرفت. در این مدت با استفاده از محلول سود ۰/۱ N و محلول اسید کلریدیریک ۰/۱ N pH محلوط تنظیم می‌گردید.

### ۴.۸.۲ اندازه‌گیری میزان لیکوپن

به منظور تعیین میزان لیکوپن به نمونه برداشت‌شده از محلول فازهای سه‌گانه دستگاه گوارش، جهت قرائت جذب، مقدار ۱۰ ml هگزان، حاوی ۰.۰۵% BHT، به عنوان حلال لیکوپن افزوده و طی ۲ min محلوت گردید. پس از آن، مخلوط حاصل با سرعت ۱۶۹۰ rpm و به مدت ۵ min سانتریفوژ و سپس به مدت ۵ min در دمای ۲۵ °C قرار گرفت تا کاملاً دو فاز شود [۳۳]. میزان جذب لایه بالایی در طول موج ۴۷۲ nm توسط دستگاه اسپکتروفوتومتر اندازه‌گیری و از هگزان به عنوان جذب شاهد استفاده شد. محتوای لیکوپن با استفاده از رابطه زیر محاسبه گردید:

$$\left( \frac{mg}{100g} \right) = \frac{\text{Abs}472 \times M_w \times \text{Volhexane} \times 100}{\epsilon \times L \times g_{sample}} \quad (2)$$

در رابطه فوق  $\text{Abs}472$  مقدار جذب قرائت شده لایه بالایی در طول موج ۴۷۲ nm؛  $M_w$  وزن مولکولی لیکوپن (۵۳۶/۹ g/mol)؛  $\epsilon$  ضریب خاموشی Volhexane حجم هگزان مصرفی (ml)؛  $L$  طول کووت لیکوپن در هگزان ( $^1M/cm^{^-1} \times 10^4$ )؛  $g_{sample}$

### ۳. نتایج و بحث

#### ۱.۳. بررسی خصوصیات مورفولوژی و قطر الیاف

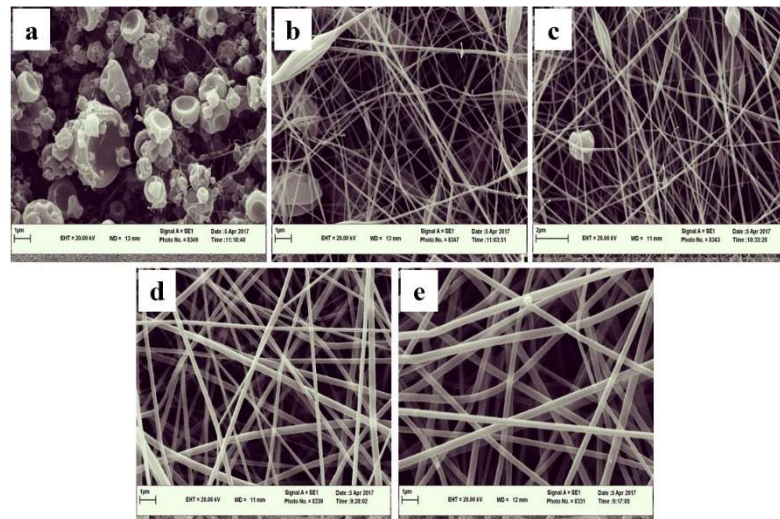
با افزایش غلظت زئین ویسکوزیته از  $38/530$  به  $70/5/280$  mPa.s افزایش یافت (جدول ۱) و فرایند از حالت پاشش الکتریکی به الکتروریسی تبدیل شد که در شکل (۲) قابل مشاهده می‌باشد. این نتایج با مطالعات انجام شده توسط دیگر محققین مطابقت دارد [۲۰، ۲۲، ۳۴]. در ویسکوزیته‌های کم همانند غلظت‌های  $20\text{W}/7$  به طور معمول الیاف قرار گرفته بر روی صفحه جمع‌کننده، دارای مهره هستند اما متناسب با افزایش ویسکوزیته شکل مهره‌ها تغییر می‌کند به طوری که از حالت کروی شکل به دوکی شکل تبدیل شده و درنهایت به شکل الیاف یکنواخت درمی‌آیند [۲۰، ۳۵]. در ویسکوزیته کم، مقدار مولکول‌های آزاد حلal بیشتر بوده و میزان درهم‌آمیختگی زنجیره‌ها کمتر است، بنابراین درنهایت مهره‌ها و الیاف دارای مهره تشکیل می‌شوند. ویسکوزیته‌های بالاتر نظری غلظت‌های  $30\text{W}/7$  موجب می‌شود که میزان درهم آمیختگی زنجیره‌های پلیمری در محلول و برهمکنش میان مولکول‌های حلal و حلal بیشتر گردد. در این حالت، زمانی که محلول تحت تأثیر بارهای الکتریکی کشیده می‌شود، مولکول‌های حلal تمایل به پخش شدن در میان مولکول‌های درهم‌رفته پلیمر را دارند، درنتیجه گرایش مولکول‌های حلal به گرد هم آمدن کاهش یافته و الیاف پیوسته و یکنواخت تشکیل خواهد شد [۱۸، ۳۵]. همان‌طور که در شکل (۲) مشاهده می‌شود با افزایش غلظت پلیمر، قطر الیاف از  $249\text{nm}$  به  $1231\text{nm}$  افزایش یافته است، این

نتایج توسط سایر محققین نیز گزارش گردیده است [۲۰، ۲۴، ۲۵]. علت افزایش قطر الیاف، افزایش ویسکوزیته تحت تأثیر غلظت بالای پلیمر و در نتیجه مقاومت بالاتر جت تشکیل شده در برابر باریک شدن می‌باشد [۲۴، ۳۵-۳۷]. شروع الکتروریسی به محلول باردار شده‌ای نیاز دارد تا بتواند بر کشش سطحی آن غلبه کند. با توجه به جدول (۱)، کشش سطحی محلول زئین با افزایش غلظت پلیمر از  $27/236$  به  $28/314$  mN/m افزایش یافته است. زمانی که جریان به سمت صفحه جمع‌کننده حرکت می‌کند، کشش سطحی ممکن است باعث تشکیل مهره‌ها در طول جت شود. در یک جت محلول، وقتی غلظت مولکول‌های آزاد حلal زیاد باشد (ویسکوزیته کم)، مولکول‌های محلول بیشتر تمایل دارند تا دورهم جمع شوند و یک شکل کروی (در اثر کشش سطحی) را به وجود آورند. در گرانزوی بالا که اثر متقابل بیشتر بین مولکول‌های حلal و زنجیره‌های پلیمری وجود دارد، کشش سطحی مولکول‌های حلal کاهش یافته و در نتیجه تمایل مولکول‌های حلal برای اینکه تحت تأثیر کشش سطحی تجمع پیدا کنند کاهش می‌یابد. همین امر منجر به تولید الیافی بدون مهره خواهد شد [۲۰، ۳۸]. در پایان می‌توان گفت از بین غلظت‌های مختلف، محلول زئین با غلظت  $30$  درصد وزنی/حجمی به عنوان غلظت بهینه می‌باشد زیرا الیاف حاصل از آن، از لحاظ مورفولوژی به صورت صاف، یکنواخت، همگن و عاری از مهره بوده و همچنین دارای کمترین میزان قطر می‌باشد. به همین سبب از این غلظت جهت ادامه کار و انجام فرایند ریزپوشانی استفاده گردید.

جدول (۱) ویسکوزیته، کشش سطحی و میانگین قطر الیاف الکتروریسی شده زئین در غلظت‌های مختلف زئین و تحت شرایط الکتروریسی: ولتاژ  $20\text{kV}$ ، نرخ تغذیه  $0.5\text{ml/hr}$  و  $150\text{ mm}$  فاصله بین نوک سوزن و صفحه جمع‌کننده.

**Table 1.** Viscosity, surface tension and mean fiber diameter of electrospun zein polymer at different concentrations, the operating voltage was  $20\text{kV}$ , flow rate  $0.5\text{ ml/hr}$  and tip-to-collector distance  $150\text{ mm}$ .

کشش سطحی Surface Tension (mN/m)	ویسکوزیته ظاهری Apparent Viscosity (mPa.s)	قطر الیاف Fiber Diameter (nm)	غلظت پلیمر Polymer Concentration (%w/v)	پلیمر Polymer
$27.236 \pm 0.0072$	$38.530 \pm 14.73$	عدم تشکیل الیاف No Fiber Formation	15	زئین Zein
$27.447 \pm 0.0095$	$88.746 \pm 13.87$	$249 \pm 87$	20	زئین Zein
$27.802 \pm 0.0108$	$185.072 \pm 15.43$	$395 \pm 94$	25	زئین Zein
$28.153 \pm 0.0098$	$347.733 \pm 17.33$	$673 \pm 133$	30	زئین Zein
$28.314 \pm 0.0045$	$705.280 \pm 18.53$	$1231 \pm 287$	35	زئین Zein



شکل (۲) تصاویر SEM در بزرگنمایی ۲۵۰۰ از الیاف زئین تحت شرایط ولتاژ ۲۰ kV، نرخ تغذیه ۰/۵ ml/hr و فاصله نوک سوزن تا صفحه جمع‌کننده ۱۵۰ mm در غلظت‌های مختلف: (a) ۱۵% w/v (b) ۲۰% w/v (c) ۲۵% w/v (d) ۳۰% w/v (e) ۳۵% w/v

**Fig. 2.** Selected SEM images (Mag.2500X) of Zein fibres produced at different concentrations of a) 15%w/v, b) 20%w/v, c) 25%w/v, d) 30%w/v, e) 35%w/v, the operating voltage was 20 kV, flow rate 0.5 ml/hr and tip-to-collector distance 150 mm

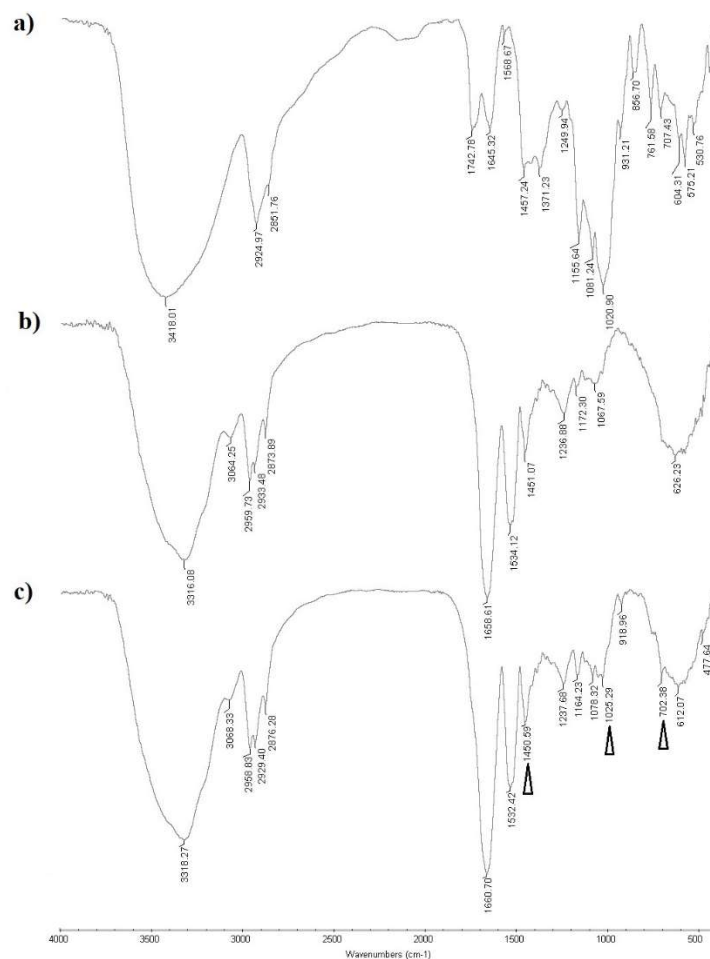
۱۰۲۰ cm<sup>-1</sup>، ارتعاش کششی C-C در ۱۰۲۰ cm<sup>-1</sup> و ۱۵۶۸ cm<sup>-1</sup>، ارتعاش کششی CH<sub>2</sub> در ۷۰۷ cm<sup>-1</sup> [۲۷] از پیک‌های شاخص لیکوپن می‌باشد. همچنین در شکل (۳c) نمودار مربوط به الیاف زئین حاوی لیکوپن می‌باشد که برای هر دو نمونه الیاف زئین حاوی لیکوپن ۰/۰۷۵٪ w/w و الیاف زئین حاوی لیکوپن ۰/۰۵٪ w/w تقریباً یکسان بوده است. پیک‌های ۷۰۲ cm<sup>-1</sup> (hexylic CH<sub>2</sub>)، ۱۴۵۰ cm<sup>-1</sup> (کششی C-C) و ۱۰۲۵ cm<sup>-1</sup> (کششی C-H) مربوط به لیکوپن بوده و همچنین سایر پیک‌های موجود مربوط به پیک‌های شاخص زئین می‌باشد که حاکی از وجود لیکوپن در الیاف زئین می‌باشد. در پایان با توجه به تجزیه و تحلیل نمودارهای FTIR می‌توان نتیجه گرفت که ریزپوشانی با استفاده از الیاف زئین به صورت فیزیکی بوده است.

### ۳.۱. راندمان ریزپوشانی لیکوپن

راندمان ریزپوشانی لیکوپن در الیاف زئین حاوی غلظت‌های اولیه متفاوت لیکوپن در شکل (۴) مشاهده می‌شود. نتایج نشان می‌دهد با افزایش غلظت لیکوپن از ۰/۰۵٪ w/w به ۰/۰۷۵٪ راندمان ریزپوشانی از ۸۵/۶۸ به ۸۸/۰۷٪ به طور معنی داری (p<0.05) افزایش یافته است. در نمونه با مقدار ولتاژ ثابت با افزایش غلظت لیکوپن در محلول اولیه، راندمان ریزپوشانی افزایش یافته به این علت که در ولتاژ ثابت مقدار محلول کشیده شده در

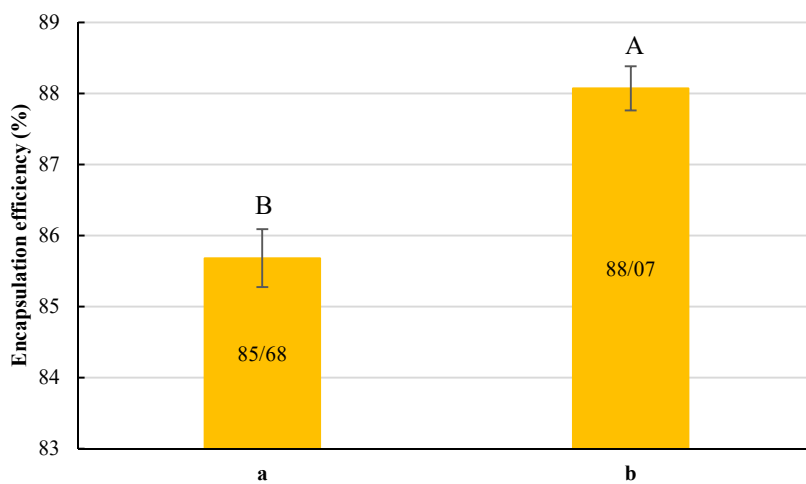
### ۳.۲. طیف‌سنجی تبدیل فوریه مادون‌قرمز (FTIR)

در تحقیق حاضر برای اثبات برهم‌کنش مناسب میان لیکوپن و زئین از FTIR استفاده شد. در شکل (۳) نتایج بدست آمده از طیف FTIR برای لیکوپن، زئین و الیاف زئین حاوی لیکوپن را نشان می‌دهد. همان‌طور که در شکل (۳b) مشاهده می‌کنید، پیک‌های شاخص زئین به ترتیب از فرکانس زیاد به سمت کم به صورت پیک پهن در ۳۳۱۶ cm<sup>-1</sup> مربوط به نوارهای کششی C-H، نوارهای جذبی کششی N-H، نوارهای جذبی آلفاکتیک در محدوده ۲۹۵۹، ۲۹۳۳، ۲۸۷۳ cm<sup>-1</sup> و ۳۰۶۴ کربونیل آمیدی (پیک آمید ۱) در ۱۶۵۸ cm<sup>-1</sup> و نوار جذبی کششی کربونیل آمیدی (پیک آمید ۲) در ۱۵۳۴ cm<sup>-1</sup> ظاهر شد. پیک آمید ۱ مربوط به نوارهای ارتعاشی کششی گروه کربونیل (C=O) است و پیک آمید ۲ مربوط به ارتعاشات خمی جفت شده با ارتعاشات کششی C-N زنجیره پیتیدی می‌باشد که گاهی اوقات نیز خود را به صورت یک شانه در کنار آن نشان می‌دهد [۱۸، ۲۶]. در شکل (۳a) نیز نمودار مربوط به لیکوپن را ملاحظه می‌کنید که در آن پیک‌های ۲۹۲۴ و ۲۸۵۱ cm<sup>-1</sup> به ترتیب برای ارتعاشات متقارن و غیر متقارن CH<sub>2</sub> و CH<sub>3</sub> می‌باشد و همچنین ارتعاشات خمی CH<sub>2</sub> در ۱۴۵۷ cm<sup>-1</sup> و CH<sub>3</sub> در ۱۳۷۱ cm<sup>-1</sup> [۳۹]. R<sub>2</sub>C=CR در ۵۷۵ cm<sup>-1</sup>، خمی CH ترانس و خارج صفحه‌ای (OOP) در ۹۳۱ cm<sup>-1</sup>، باند کششی C=C در ۱۶۴۵ cm<sup>-1</sup> و



شکل (۳) نمودار طیف FTIR نمونه‌های مختلف: (a) لیکوپن (b) زئین (c) الیاف زئین حاوی لیکوپن

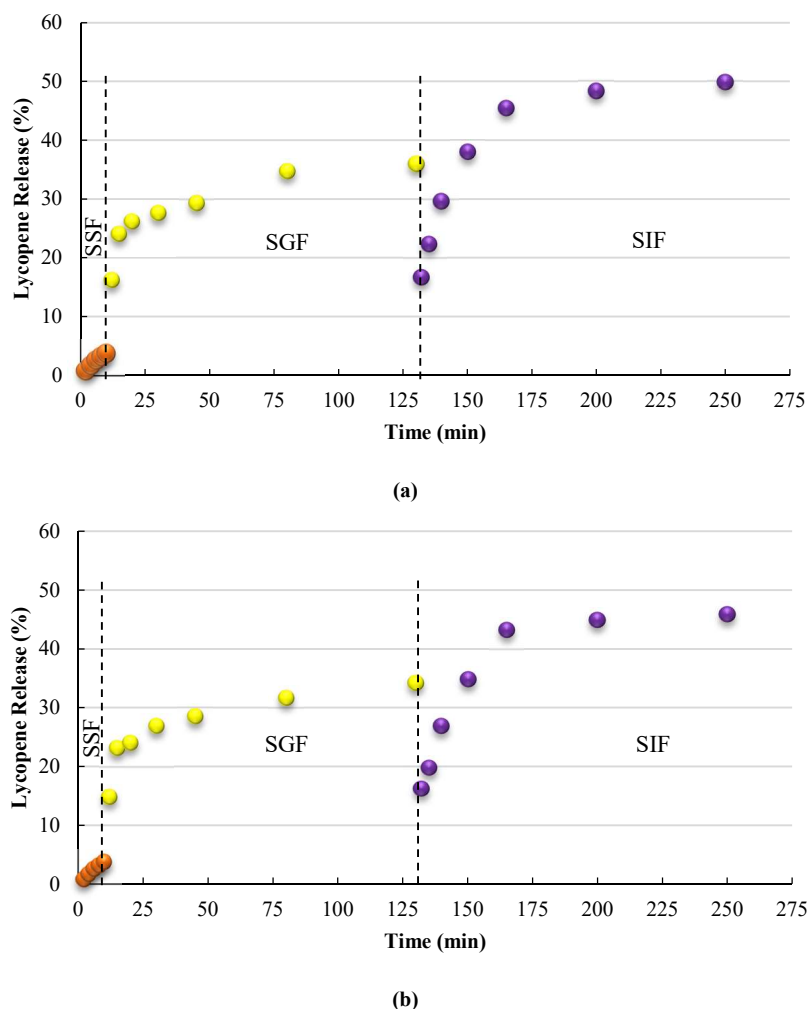
Fig. 3. FTIR spectra of a) Lycopene, b) Zein, c) Electrospun Zein/Lycopene fibres

شکل (۴) نمودار راندمان بارگذاری لیکوپن در نمونه‌های مختلف: (a) الیاف حاصل از محلول زئین با غلظت ۰/۰۵ w/w٪ حاوی ۰/۰۵ w/v٪ لیکوپن  
(b) الیاف حاصل از محلول زئین با غلظت ۰/۰۷۵ w/w٪ حاوی ۰/۰۳۰ w/v٪ لیکوپنFig. 4. Loading efficiency of Lycopene at different samples: a) Zein fibres at a polymer concentration of 30%w/v contain 0.05% w/w Lycopene,  
b) Zein fibres at a polymer concentration of 30%w/v contain 0.075% w/w Lycopene

### ۴.۳ رهایش لیکوپین در شرایط شبیه‌سازی شده دستگاه گوارش

شکل (۵) پروفایل رهایش از دو نمونه الیاف زئین حاوی لیکوپین را در سه فاز دستگاه گوارش دهان، معده و روده کوچک را نشان می‌دهد. محور افقی نمودار نشان دهنده زمان گوارش در دستگاه سه‌گانه می‌باشد. برای نشان دادن پروفایل رهایش گوارش از نمودارهای مجزا استفاده نشده و پروفایل رهایش آن‌ها در یک نمودار، در بازه زمانی مربوط به هر یک افزایش نشان داده شده است (شکل ۵). این امر موجب شده در مرز فازهای معده و روده، مقدار رهایش در زمان شروع فاز روده‌ای کمتر از مقدار

نوک سوزن یکسان بوده از این رو محلول با غلظت لیکوپین بیشتر باعث افزایش راندمان ریزپوشانی می‌شود [۲، ۴۱]. پرز ماسیا و همکاران، لیکوپین را در غلظت‌های مختلف در نانو ذرات دکستران ریزپوشانی نمودند و حداکثر راندمان ریزپوشانی معادل با  $57/5\%$  به دست آوردند. همچنین آن‌ها لیکوپین را در نانو ذرات ایزوله پروتئین آب پنیر ریزپوشانی کردند که حداکثر راندمان ریزپوشانی برابر  $75/2\%$  به دست آمد [۴۲]. بنابراین طبق نتایج حاصل می‌توان نتیجه گرفت که این سامانه می‌تواند به عنوان یک روش نوین جهت ریزپوشانی ترکیبات زیست‌فعال با کارایی بالا مورد استفاده قرار گیرد.



شکل (۵) پروفایل رهایش لیکوپین در سه فاز دستگاه گوارش (فاز دهان (SSF)، فاز معده (SGF) و فاز روده (SIF)) در نمونه‌های مختلف: (a) الیاف حاصل از محلول زئین با غلظت  $30\text{ w/v}\%$  حاوی  $0.05\text{ w/w}\%$  لیکوپین (b) الیاف حاصل از محلول زئین با غلظت  $30\text{ w/v}\%$  حاوی  $0.075\text{ w/w}\%$  لیکوپین

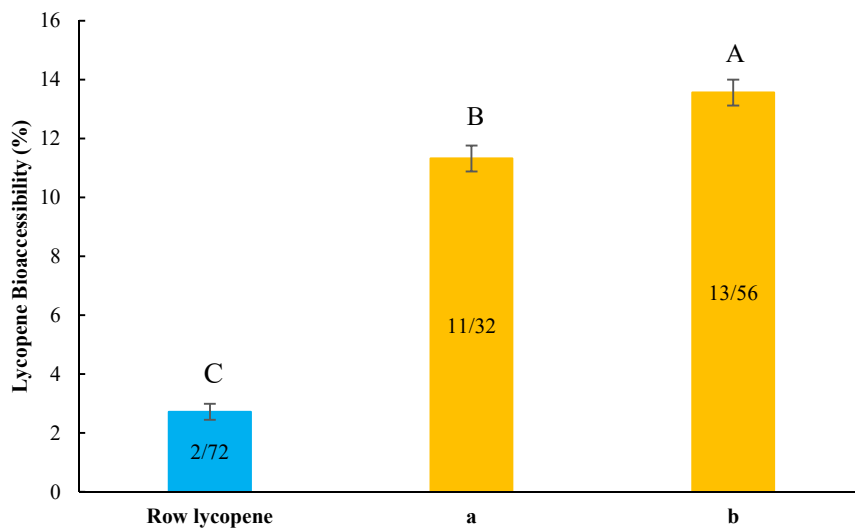
**Fig. 5.** Lycopene release profile of different samples in three phases of gastrointestinal tract (GI tract): Mouth (SSF), Stomach (SGF) and Small intestine (SIF): (a) Zein fibres at a polymer concentration of  $30\text{ w/v}\%$  contain  $0.05\text{ w/w}\%$  Lycopene (b) Zein fibres at a polymer concentration of  $30\text{ w/v}\%$  contain  $0.075\text{ w/w}\%$  Lycopene

می‌باید که ممکن است به دلیل گسترش و در معرض قرار گرفتن گروههای هیدروفیل از قسمتهای داخلی پروتئین‌ها باشد [۴۵]. این امر سبب شده تا بیشترین رهایش لیکوپن در فاز روده دیده شود و ازان‌جایی که محل جذب لیکوپن در روده کوچک است [۴۶] می‌توان گفت هدف از این پژوهش برآورده شده است.

### ۵.۳ زیست‌دسترسی لیکوپن در شرایط شبیه‌سازی شده دستگاه گوارش

زیست‌دسترسی کلی ترکیبات زیست‌فعال چربی‌دوست به پارامترهای مختلفی نظیر رهایش، جذب، پخش، متابولیسم و فرایندات دفع بستگی دارد [۴۷]. در این بین رهایش و جذب، جزء پارامترهای حیاتی و اصلی می‌باشند. با توجه به شکل‌های ۵ و ۶، هرچه میزان رهایش روده کوچک بیشتر بوده، مقدار زیست‌دسترسی لیکوپن نیز افزایش پیدا کرده است. به طوری که مقدار زیست‌دسترسی برای نمونه الیاف حاصل از محلول زئین با غلظت  $v/v$  ۳۰٪ حاوی  $w/w$  ۰/۰۷۵٪ لیکوپن برابر با  $w/w$  ۰/۰۵٪ حاوی برای نمونه الیاف حاصل از محلول زئین با غلظت  $v/v$  ۳۰٪ حاوی  $w/w$  ۰/۰۵٪ لیکوپن معادل  $11/32$ ٪ می‌باشد. طبق نتایج به دست آمده، زیست‌دسترسی دو نمونه نسبت به لیکوپن خام دارای اختلاف معنی‌داری بوده است ( $p < 0.05$ ). مقدار زیست‌دسترسی برای لیکوپن در این بررسی در مقایسه با دیگر پژوهش‌های صورت گرفته توسط سالویا-تروجیلو و همکاران و آنسی و همکاران که از حامل‌های لیپیدی جهت ریزپوشانی لیکوپن استفاده کرده‌اند، بیشتر بوده است [۴۸، ۴۹]. در این رابطه می‌توان چنین عنوان کرد که مدت زمان هضم در معده برای مواد غذایی با محتوای لیپیدی، بیشتر از مواد عذایی با محتوای پروتئینی است [۴۹]; بنابراین هنگامی که از حامل‌های لیپیدی استفاده می‌شود میزان آسیب واردہ به لیکوپن و هم‌چنین رهایش آن نسبت به زمانی که از حامل‌های پروتئینی استفاده می‌شود، طی هضم در معده بیشتر است. جذب لیکوپن در روده کوچک به دو روش ممکن است صورت گیرد؛ در فاز روده هنگامی که لیکوپن از الیاف زئین آزاد شده در مخلوط میسل‌های درون مایع روده‌ای (قبل از این‌که در دسترس جذب قرار گیرند) حل می‌شود. مخلوط میسل‌ها توسط نمک‌های صفراء و لیپو-پروتئین‌های ترشح شده از بدن جمع‌آوری می‌شوند و در ادامه، مخلوط میسل‌ها قادرند لیکوپن حل شده را از طریق لایه مخاطی

رهایش در زمان پایان فاز معده باشد. به عبارت دیگر، فرایند رهایش در هر مرحله به صورت مجزا از مرحله دیگر بوده (به دلیل بررسی از نوع رهایش لحظه‌ای) و به همین دلیل، مقدار رهایش مشاهده شده بروای نمودار در فاز روده، کمتر از مقدار محاسبه شده در انتهای فاز معده می‌باشد. مکانیسم عمله آزادسازی طی فرایند رهایش از الیاف زئین، مکانیسم نشت ماده ریزپوشانی شده (لیکوپن) از میان حفرات و منافذ الیاف زئین می‌باشد [۴۳، ۴۴]. از آنجا که رهایش سریع اولیه (که تحت عنوان رهایش انفجری شناخته می‌شود) به ویژگی‌های سطح و پوسته لایه‌ها بستگی دارد، استفاده از الیاف زئین باعث کاهش سرعت انتشار لیکوپن شده است. همان‌طور که در شکل (۵) مشاهده می‌شود به دلیل یکسان بودن شرایط فرایند الکترورسی الیاف زئین برای دو نمونه، مکانیسم رهایش برای دو نمونه یکسان بوده است. همان‌طور که مشاهده می‌شود برای هر دو نمونه الیاف زئین حاوی  $w/w$  ۰/۰۵٪ لیکوپن و الیاف زئین حاوی  $w/w$  ۰/۰۷۵٪ لیکوپن، میزان رهایش در دهان بسیار کم بوده است. دلیل این امر، مقاومت ساختار پروتئینی الیاف زئین در برابر تغییرات یونی و آنزیم آلفا-آمیلاز فاز دهان و از سوی دیگر، مدت زمان کوتاه حضور الیاف زئین در فاز دهان می‌باشد. هم‌چنین در فاز معده pH و آنزیم پیپسین موجود در شیره معده از عوامل مهم در رهایش لیکوپن از الیاف زئین است؛ به طوری که پروتئین‌ها تحت شرایط اسیدی و هم‌زمان هیدرولیز آنزیمی، تجزیه شده و بنابراین برخی از مناطق هیدروفوب تحت اثر آنزیم پیپسین، باعث تشکیل نقاط هیدروفیل می‌شوند [۴۴]. علت این پدیده هم تخریب زیر-مجموعه‌های گلیسینین نظیر آلفا-گلیسینین و بتا-گلیسینین توسط آنزیم پیپسین می‌باشد که با گذشت زمان مقدار این تخریب نیز بیشتر شده [۴۵] و در نتیجه باعث حل شدن زئین در شیره معده و کاهش مقاومت ساختار می‌گردد. نتایج رهایش لیکوپن از الیاف زئین در شکل (۵) نیز گویای این پدیده می‌باشد. در فاز نهایی (فاز روده کوچک) در طی میزان حل‌الیاف زئین هیدرولیز شده، افزایش می‌باید که این پدیده ناشی از تجزیه گلیسینین توسط آنزیم پیپسین در فاز قبلی و آزاد شدن پیتیدها با وزن مولکولی پایین است. در نتیجه، این عمل باعث ایجاد نقاط هیدروفیل در سطح پروتئین شده که منجر به انعطاف‌پذیری و بهبود حل‌الیاف ساختار می‌گردد [۴۶]. از سوی دیگر، در pH های بالاتر از نقطه ایزوکلریک پروتئین‌ها میزان حل‌الیاف آن‌ها افزایش



شکل (۶) نمودار زیستدسترسی لیکوپن در نمونه‌های مختلف : a) الیاف حاصل از محلول زئین با غلظت  $30\text{ w/v}$ ٪ حاوی  $0.05\text{ w/v}$ ٪ لیکوپن b) الیاف حاصل از محلول زئین با غلظت  $30\text{ w/v}$ ٪ حاوی  $0.075\text{ w/v}$ ٪ لیکوپن

**Fig. 6.** Bioaccessibility graph of Lycopene at different samples: a) Zein fibres at a polymer concentration of 30%w/v contain 0.05% w/w Lycopene, b) Zein fibres at a polymer concentration of 30%w/v contain 0.075% w/w Lycopene

#### ۴. نتیجه‌گیری

الیاف الکتروریسی شده زئین به عنوان روشی نوین جهت ایجاد رهایش کنترل شده و محافظت شده لیکوپن توسعه داده شد. تصاویر حاصل از میکروسکوپ الکترونی روشی (SEM) بررسی تولید الیاف زئین به صورت یکنواخت و بدون مهره بکار رفت. نتایج حاصل از آزمون FTIR نشان داد که تمامی اجزای الیاف زئین حاوی لیکوپن در حین فرایند الکتروریسی ساختار خود را حفظ کرده و دچار تغییرات شیمیایی نشده است. پروفایل رهایش حاصل از دو نمونه الیاف زئین حاوی لیکوپن، رفتار تقریباً یکسانی نشان داد زیرا لایه محافظتی زئین برای هر دو نمونه یکی بوده و در نتیجه باعث رهایش کنترل شده گردیده است. استفاده از این روش باعث رهایش لیکوپن در نقطه اثر مدنظر (روده کوچک) گردیده که افزایش مقدار زیستدسترسی لیکوپن را به دنبال داشته است. الکتروریزپوشانی با استفاده از الیاف الکتروریسی شده زئین پتانسیل بالایی برای به خدمت گرفتن به عنوان یک سیستم تحویل مناسب برای ترکیبات زیستفعال دارد. از این رو استفاده از این روش برای ریزپوشانی ترکیبات زیستفعال و دارویی در صنعت غذا و دارو توصیه می‌شود.

و قسمت‌های اپیکال سلول‌های پوششی روده انتقال دهنده [۴۷] سپس لیکوپن می‌تواند از طریق مکانیسم انتقال فعال یا غیرفعال وارد سلول‌های پوششی شود [۵۰]. از آنجایی که به طور معمول فرایند انتقال لیکوپن از فاز روده به پلاسمما توسط لیپوبروتئین‌ها صورت می‌گیرد [۵۱،۵۲]؛ می‌توان گفت قسمت عمده از جذب لیکوپن بدین صورت انجام می‌گیرد. علاوه بر این، هنگامی که الیاف زئین وارد روده کوچک می‌شوند بخش بزرگی از هضم پروتئین‌ها در این مکان صورت می‌گیرد؛ در این قسمت شیره پانکراس که شامل آنزیم‌های کیموتربیپسین و تریپسین است، پروتئین‌ها را به قسمت‌های کوچک‌تری تبدیل می‌کند [۴۹]. این عمل باعث می‌شود که مولکول‌های لیکوپن درون ذرات کلولی‌دی حاصل از تجزیه پروتئین‌ها به دام افتاده و به صورت مستقیم توسط سلول‌های پوششی جذب شوند [۴۷]. به طور کل، استفاده از این روش ریزپوشانی و هم‌چنین بیopolymer زئین که جزء ترکیبات مجاز در صنعت غذا می‌باشد، در مقایسه با سایر سامانه‌ها مقدار زیستدسترسی بالایی را برای لیکوپن از خود نشان داده است که این امر، بیانگر توانایی این سیستم در زمینه ریزپوشانی می‌باشد.

## منابع

- 6(10), 3218–3227.
- [15] Kabak, B., Ozbey, F. (2012). Assessment of the bioaccessibility of aflatoxins from various food matrices using an in vitro digestion model, and the efficacy of probiotic bacteria in reducing bioaccessibility. *J Food Compos Anal.*, 27(1), 21–31.
- [16] Tiwari, S. K., & Venkatraman, S. S. (2012). Importance of viscosity parameters in electrospinning: Of monolithic and core-shell fibers. *Mater. Sci. Eng. C.*, 32(5), 1037–1042.
- [17] Torres-Giner, S., Martinez-Abad, A., Ocio, M. J., Lagaron, J. M. (2010). Stabilization of a nutraceutical omega-3 fatty acid by encapsulation in ultrathin electrosprayed zein prolamine. *J Food Sci.*, 75(6), 69–79.
- [18] Li, Y., Lim, L.T., Kakuda, Y. (2009). Electrospun Zein Fibers as Carriers to Stabilize (−)-Epigallocatechin Gallate. *J Food Sci.*, 74(3), C233–C240.
- [19] Miri, M. A., Movaffagh, J., Najafi, M. B. H., Najafi, M. N., Ghorani, B., Koocheki, A. (2016). Optimization of electrospinning process of zein using central composite design. *Fiber Polym.*, 17(5), 769–777.
- [20] Yao, C., Li, X., Song, T. (2007). Electrospinning and crosslinking of zein nanofiber mats. *J Appl Polym Sci.*, 103(1), 380–385.
- [21] Neo, Y. P., Ray, S., Jin, J., Gizdavic-Nikolaidis, M., Nieuwoudt, M. K., Liu, D., Quek, S. Y. (2013). Encapsulation of food grade antioxidant in natural biopolymer by electrospinning technique: A physicochemical study based on zein–gallic acid system. *Food Chem.*, 136(2), 1013–1021.
- [22] Selling, G. W., Biswas, A., Patel, A., Walls, D. J., Dunlap, C., Wei, Y. (2007). Impact of Solvent on Electrospinning of Zein and Analysis of Resulting Fibers. *Macromol Chem Phys.*, 208(9), 1002–1010.
- [23] Mehta, S. K., Bhawna, Bhasin, K. K., Kumar, A. (2009). Solubilization and conformational behavior of Zein in aqueous solution of dodecyldimethylhexylammonium bromide (DDAB). *Colloids Surf A Physicochem Eng Asp.*, 346(1), 195–201.
- [24] Neo, Y. P. (2014). Electrospinning as a Novel Encapsulation Method for Food Applications. *Ph.D. Thesis*, University of Auckland, New Zealand.
- [25] Torres-Giner, S., Gimenez, E., Lagaron, J. M. (2008). Characterization of the morphology and thermal properties of Zein Prolamine nanostructures obtained by electrospinning. *Food Hydrocoll.*, 22(4), 601–614.
- [26] Ghorani, B., Russell, S. J., Goswami, P. (2013). Controlled morphology and mechanical characterisation of electrospun cellulose acetate fibre webs. *Int J Polym Sci.*, 1–12.
- [27] Pop, R. M., Buzoianu, A. D., Rati, I. V., Socaciu, C. (2014). Untargeted metabolomics for sea buckthorn (*Hippophae Rhamnoides* ssp. *carpatica*) berries and leaves: Fourier transform infrared spectroscopy as a rapid approach for evaluation and discrimination. *Not Bot*
- [1] Noshad, M., Mohebbi, M., Koocheki, A., Shahidi, F. (2015). Microencapsulation of vanillin by spraydrying using soy protein isolate–maltodextrin as wall material. *Flavour Fragr. J.*, 30(5), 387–391.
- [2] Ghorani, B., Tucker, N. (2015). Fundamentals of electrospinning as a novel delivery vehicle for bioactive compounds in food nanotechnology. *Food Hydrocoll.*, 51, 227–240.
- [3] Manojlović, V., Nedović, V., Kailasapathy, K., Zuidam, N. (2011). Encapsulation of Probiotics for use in Food Products. in: Zuidam, N., Nedović, V. (Eds.), *Encapsulation Technologies for Active Food Ingredients and Food Processing*, Springer, New York, pp 269–302.
- [4] Nedovic, V., Kalusevic, A., Manojlovic, V., Levic, S., Bugarski, B. (2011). An overview of encapsulation technologies for food applications. *Procedia Food Sci.*, 1, 1806–1815.
- [5] López-Rubio, A., Sanchez, E., Wilkanowicz, S., Sanz, Y., Lagaron, J. M. (2012). Electrospinning as a useful technique for the encapsulation of living bifidobacteria in food hydrocolloids. *Food Hydrocoll.*, 28(1), 159–167.
- [6] López-Rubio, A., Lagaron, J. M. (2012). Whey protein capsules obtained through electrospraying for the encapsulation of bioactives. *Innov Food Sci Emerg Technol.*, 13, 200–206.
- [7] Xu, X., Jiang, L., Zhou, Z., Wu, X., Wang, Y. (2012). Preparation and properties of electrospun soy protein isolate/polyethylene oxide nanofiber membranes. *ACS Appl Mater Interfaces.*, 4(8), 4331–4337.
- [8] Wongsasulak, S., Patapeejumruswong, M., Weiss, J., Supaphol, P., Yoovidhya, T. (2010). Electrospinning of food-grade nanofibers from cellulose acetate and egg albumen blends. *J Food Eng.*, 98(3), 370–376.
- [9] Bürck, J., Heissler, S., Geckle, U., Ardakani, M. F., Schneider, R., Ulrich, A. S., Kazanci, M. (2013). Resemblance of electrospun collagen nanofibers to their native structure. *J Am Chem Soc Langmuir.*, 29(5), 1562–1572.
- [10] Songchotikunpan, P., Tattiyakul, J., Supaphol, P. (2008). Extraction and electrospinning of gelatin from fish skin. *Int J Biol Macromol.*, 42(3), 247–255.
- [11] Brahatheeswaran, D., Mathew, A., Aswathy, R. G., Nagaoka, Y., Venugopal, K., Yoshida, Y., Sakthikumar, D. (2012). Hybrid fluorescent curcumin loaded zein electrospun nanofibrous scaffold for biomedical applications. *Biomed Mater.*, 7(4), 45001.
- [12] Nieuwland, M., Geerdink, P., Brier, P., Eijnden, P., Van Den, Henket, J. T. M. M., Langelaan, M. L. P., Martin, A. H. (2013). Food-grade electrospinning of proteins. *Innov Food Sci Emerg Technol.*, 20, 269–275.
- [13] Kun, Y., Lule, U. S., Xiao-Lin, D. (2006). Lycopene: Its properties and relationship to human health. *Food Rev Int.*, 22(4), 309–333.
- [14] Marze, S. (2015). Bioaccessibility of lipophilic micro-constituents from a lipid emulsion. *Food Funct.*,

- electrospinning of polyamide-6. *Eur Polym J.*, 44,3067-3079.
- [42] Pérez-Masiá, R., Lagaron, J. M., Lopez-Rubio, A. (2015). Morphology and Stability of Edible Lycopene-Containing Micro- and Nanocapsules Produced Through Electrospraying and Spray Drying. *Food Bioprocess Tech.*, 8(2), 459–470.
- [43] Xiao, D., Davidson, P. M., Zhong, Q. (2011). Release and antilisterial properties of nisin from zein capsules spray-dried at different temperatures. *LWT - Food Sci Tech.*, 44(10), 1977–1985.
- [44] Molina, E., Papadopoulou, A., Ledward, D. A. (2001). Emulsifying properties of high pressure treated soy protein isolate and 7S and 11S globulins. *Food Hydrocoll.*, 15(3), 263–269.
- [45] Cui, C., Zhao, M., Yuan, B., Zhang, Y., Ren, J. (2013). Effect of pH and pepsin limited hydrolysis on the structure and functional properties of soybean protein hydrolysates. *J Food Sci.*, 78(12), 1871–1877.
- [46] Kong, X., Zhou, H., Qian, H. (2007). Enzymatic hydrolysis of wheat gluten by proteases and properties of the resulting hydrolysates. *Food Chem.*, 102(3), 759–763.
- [47] McClements, D. J., Xiao, H. (2014). Excipient foods: designing food matrices that improve the oral bioavailability of pharmaceuticals and nutraceuticals. *Food Funct.*, 5(7), 1320–1333.
- [48] Anese, M., Mirolo, G., Beraldo, P., Lippe, G. (2013). Effect of ultrasound treatments of tomato pulp on microstructure and lycopene in vitro bioaccessibility. *Food Chem.*, 136(2), 458–463.
- [49] Zimmerman, M., Snow, B. (2012). *An Introduction to Nutrition*. 1<sup>st</sup> ed., The Creative Commons, USA, pp 296–299.
- [50] Singh, H., Ye, A., Horne, D. (2009). Structuring food emulsions in the gastrointestinal tract to modify lipid digestion. *Prog Lipid Res.*, 48(2), 92–100.
- [51] Krinsky, N I., Cornwell, D G. Oncley, J. L. (1958). The transport of vitamin A and carotenoids in human plasma. *Arch Biochem Biophys.*, 73(1), 233–246.
- [52] Parker, R. (1996). Absorption, metabolism, and transport of carotenoids. *FASEB J.*, 10, 542–51.
- Hort Agrobot Cluj.*, 42(2), 545–550.
- [28] Liu, D., Liu, Z., Wang, L., Zhang, C., Zhang, N. (2011). Nanostructured lipid carriers as novel carrier for parenteral delivery of docetaxel. *Colloids Surf. B.*, 85(2), 262–269.
- [29] Van Ruth, S. M., Roozen, J. P. (2000). Influence of mastication and saliva on aroma release in a model mouth system. *Food Chem.*, 71, 339–345.
- [30] Zhang, R., Zhang, Z., Zou, L., Xiao, H., Zhang, G., Decker, E. A., McClements, D. J. (2016). Enhancement of carotenoid bioaccessibility from carrots using excipient emulsions: influence of particle size of digestible lipid droplets. *Food Funct.*, 7(1), 93–103.
- [31] Salvia-Trujillo, L., McClements, D. J. (2016). Enhancement of lycopene bioaccessibility from tomato juice using excipient emulsions: Influence of lipid droplet size. *Food Chem.*, 210, 295–304.
- [32] Miekus, M., Alminger, M., Alvito, P., Balance, S., Bohn, T., Bourlieu, C., Brodkorb, A. (2014). A standardised static in vitro digestion method suitable for food - an international consensus. *Food Func.*, 5(6), 1113–1124.
- [33] Fish, W. W., Perkins-Veazie, P., Collins, J. K. (2002). A Quantitative Assay for Lycopene That Utilizes Reduced Volumes of Organic Solvents. *J. Food Compos Anal.*, 15(3), 309–317.
- [34] Miyoshi, T., Toyohara, K., & Minematsu, H. (2005). Preparation of ultrafine fibrous zein membranes via electrospinning. *Polym Int.*, 54(8), 1187–1190.
- [35] Ramakrishna, S. (2005). *An Introduction to Electrospinning and Nanofibers*, 1<sup>st</sup> ed., World Scientific, Singapore.
- [36] Nezarat, R. M., Eifert, M. B., Cosgriff-Hernandez, E. (2013). Effects of Humidity and Solution Viscosity on Electrospun Fiber Morphology. *Tissue Eng Part C Methods.*, 19(10), 810–819.
- [37] Mit-uppatham, C., Nithitanakul, M., Supaphol, P. (2004). Ultratine electrospun polyamide-6 fibers: Effect of solution conditions on morphology and average fiber diameter. *Macromol Chem Phys*, 205(17), 2327–2338.
- [38] Reneker, D. H., Yarin, A. L., Fong, H., Koombhongse, S. (2000). Bending instability of electrically charged liquid jets of polymer solutions in electrospinning. *J Appl Phys.*, 87(9), 4531–4547.
- [39] De Nardo, T., Shiroma-Kian, C., Halim, Y., Francis, D., Rodriguez-Saona, L. E. (2009). Rapid and simultaneous determination of lycopene and β-carotene contents in tomato juice by infrared spectroscopy. *J Agric Food Chem.*, 57(4), 1105–1112.
- [40] Wilkerson, E. D., Anthon, G. E., Barrett, D. M., Sayajon, G. F. G., Santos, A. M., Rodriguez-saona, L. E. (2015). Rapid Assessment of Quality Parameters in Processing Tomatoes Using Hand-Held and Benchtop Infrared Spectrometers and Multivariate Analysis. *J Agric Food Chem.*, 61(9), 2088–95.
- [41] Heikkila, P., Harlin, A. (2008). Parameter study of

*Research Article***Electro-Encapsulation of Lycopene in Protein Microfiber Structure: Physicochemical and Bioaccessibility Characteristics**

**Esmaeel Charashlo<sup>1</sup>, Mohebbat Mohebbi<sup>2\*</sup>, Behrouz Ghorani<sup>3</sup>**

1. M.Sc. student, Department of Food Science and Engineering, Faculty of Agriculture, Ferdowsi University of Mashhad, Mashhad, Iran
2. Professor, Department of Food Science and Engineering, Faculty of Agriculture, Ferdowsi University of Mashhad, Mashhad, Iran
3. Assistant Professor, Department of Food Nanotechnology, Research Institute of Food Science and Technology (RIFST), Mashhad, Iran.

**Abstract**

Lycopene is a carotenoid pigment with some special health attributes, which have attracted many researchers' attention as a valuable ingredient. The stability of many bioactive compounds is limited due to various physicochemical and physiological processes. For this purpose, the application of different encapsulation methods for controlled release and improved stability of bioactive compounds is of great importance. In this study, the effect of various solution concentrations (15, 20, 25, 30 and 35 %w/v) on the production of zein fibers was studied. The optimized concentration was then, applied for the encapsulation process of lycopene at two levels (0.05, 0.075 %w/w). The physical and chemical properties of lycopene-containing zein fibers and the profile of lycopene release in three phases of gastrointestinal (GI) tract (mouth, stomach and small intestine) were investigated. The results of scanning electron microscopy (SEM) showed that uniform, homogeneous and bead-free fibers were obtained at the optimum conditions. The lycopene loading efficiency was measured between 85.68-88.07%. The results of FTIR test indicate that the physical entrapment of lycopene in zein microfibers was successfully occurred. In addition, controlled and stable release of lycopene in the GI simulated system which shows its appropriate bioaccessibility was observed. Encapsulation using zein electrospun microfiber has the potential to serve as a targeted delivery system for lycopene. The use of this method is therefore, recommended for the encapsulation of lycopene in the food industry.

**Keywords:** **Electro-Encapsulation, Electrospinning, Bioaccessibility, Zein, Lycopene.**

---

\* Corresponding author: m-mohebbi@um.ac.ir